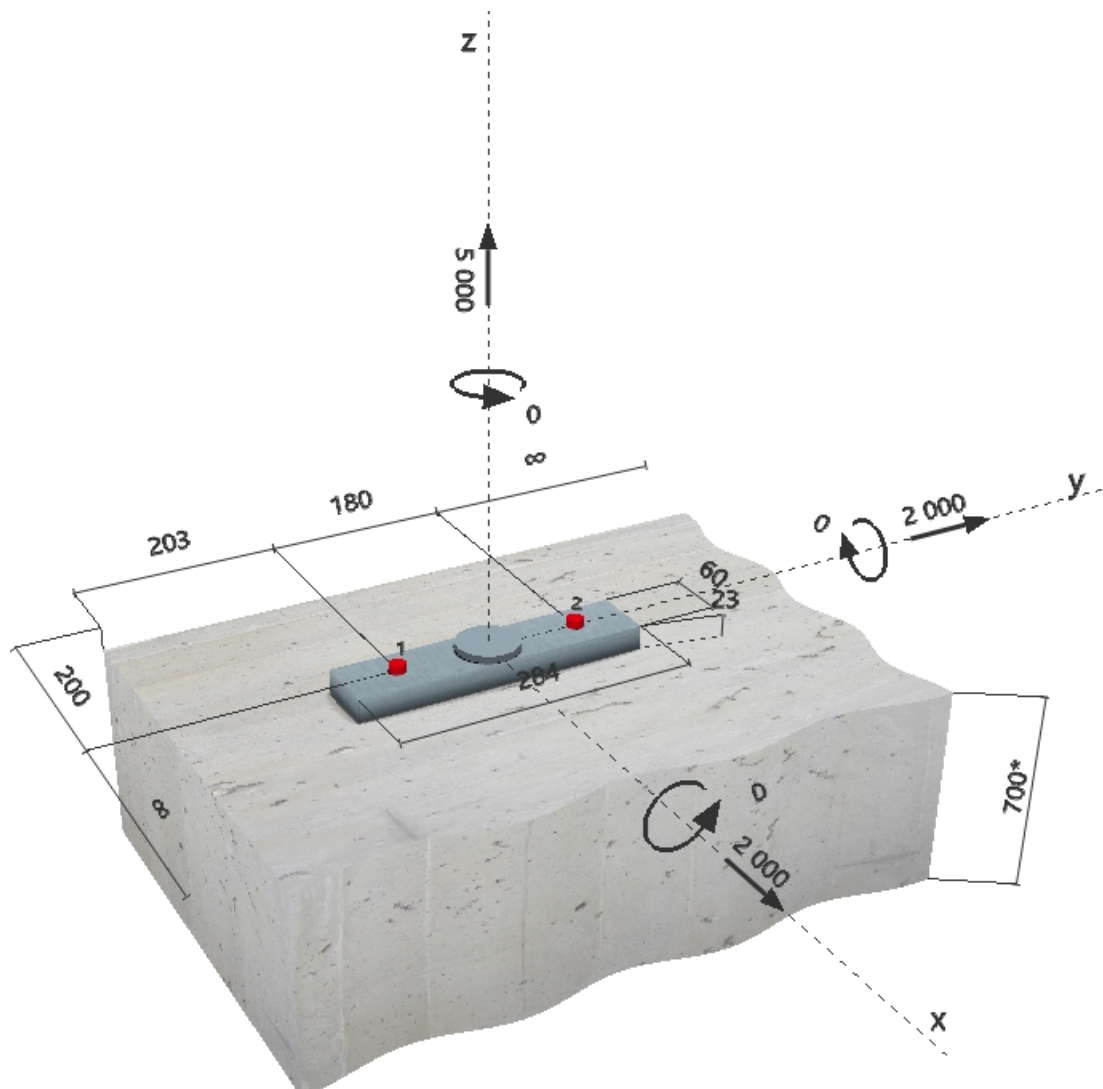


Commentaire du prescripteur: CAS LE PLUS DEFAVORABLE- ELU Accidentel : 1.0 x Poids (machine + châssis) + 1.0 x Séisme

1 Données d'entrée

Type et taille de cheville:	HSA M16 hnom3	
Profondeur d'implantation effective:	$h_{ef} = 120 \text{ mm}$, $h_{nom} = 132 \text{ mm}$	
Matériau:		
Homologation:	ETA 11/0374	
Délivré Validité:	08/08/2016 -	
Méthode de calcul:	Méthode de calcul ETAG (ETAG 001, Annexe C/2010)	
Montage avec écartement:	$e_b = 0 \text{ mm}$ (sans écartement); $t = 23 \text{ mm}$	
Platine:	$l_x \times l_y \times t = 60 \text{ mm} \times 284 \text{ mm} \times 23 \text{ mm}$; (Epaisseur de platine recommandée: non calculé)	
Profil:	Cylindre; (L x W x T) = 60 mm x 60 mm x 0 mm	
Matériau de base:	Béton non fissuré béton, C20/25, $f_{c,cube} = 25,00 \text{ N/mm}^2$; $h = 700 \text{ mm}$	
Installation:	trou foré avec perforateur, condition d'installation: sec	
Renforcement:	Pas de renforcement ou distance entre armatures $\geq 150 \text{ mm}$ (tous \emptyset) ou $\geq 100 \text{ mm}$ ($\emptyset \leq 10 \text{ mm}$) Pas de renforcement de bord longitudinal	

Géométrie [mm] & Charges [daN, daNm]



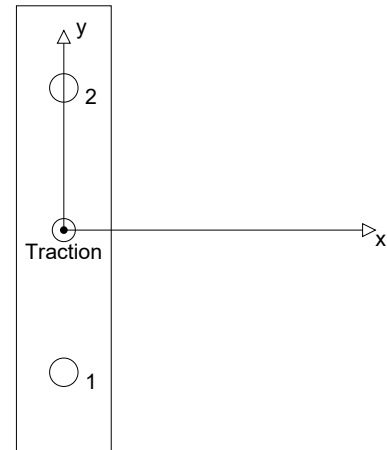
2 Cas de charges/Charges résultantes sur les chevilles

Cas de charges: Charges pondérées

Réactions des chevilles [daN]

Traction: (+Traction, -Compression)

Cheville	Traction	Cisaillement	Cisaillement x	Cisaillement y
1	2500,0	1414,2	1000,0	1000,0
2	2500,0	1414,2	1000,0	1000,0

 Déformation max à la compression du béton: - [%]
 Contrainte max à la compression du béton: - [N/mm²]
 Charges de traction résultantes dans (x/y)=(0/0): 5000,0 [daN]
 Charges de compression résultantes dans (x/y)=(0/0): 0,0 [daN]


3 Traction (ETAG annexe C, § 5.2.2)

	Charge [daN]	Capacité [daN]	Utilisation β_N [%]	Statut
Rupture acier*	2500,0	5900,0	43	OK
Rupture par extraction/glisement*	2500,0	3333,3	75	OK
Rupture par cône de béton**	5000,0	6638,4	76	OK
Rupture par fendage**	5000,0	7368,4	68	OK

* cheville la plus défavorable ** groupe de chevilles (chevilles en traction)

3.1 Rupture acier

$N_{Rk,s}$ [daN]	$\gamma_{M,s}$	$N_{Rd,s}$ [daN]	N_{Sd} [daN]
8260,0	1,400	5900,0	2500,0

3.2 Rupture par extraction/glisement

$N_{Rk,p}$ [daN]	ψ_c	$\gamma_{M,p}$	$N_{Rd,p}$ [daN]	N_{Sd} [daN]
5000,0	1,000	1,500	3333,3	2500,0

3.3 Rupture par cône de béton

$A_{c,N}$ [mm ²]	$A_{c,N}^0$ [mm ²]	$c_{cr,N}$ [mm]	$s_{cr,N}$ [mm]		
194400	129600	180	360		
$e_{c1,N}$ [mm]	$\psi_{ec1,N}$	$e_{c2,N}$ [mm]	$\psi_{ec2,N}$	$\psi_{s,N}$	$\psi_{re,N}$
0	1,000	0	1,000	1,000	1,000
k_1	$N_{Rk,c}^0$ [daN]	$\gamma_{M,c}$	$N_{Rd,c}$ [daN]	N_{Sd} [daN]	
10,100	6638,4	1,500	6638,4	5000,0	

3.4 Rupture par fendage

$A_{c,N}$ [mm ²]	$A_{c,N}^0$ [mm ²]	$c_{cr,sp}$ [mm]	$s_{cr,sp}$ [mm]	$\psi_{h,sp}$		
212800	144400	190	380	1,500		
$e_{c1,N}$ [mm]	$\psi_{ec1,N}$	$e_{c2,N}$ [mm]	$\psi_{ec2,N}$	$\psi_{s,N}$	$\psi_{re,N}$	k_1
0	1,000	0	1,000	1,000	1,000	10,100
$N_{Rk,c}^0$ [daN]	$\gamma_{M,sp}$	$N_{Rd,sp}$ [daN]	N_{Sd} [daN]			
5000,0	1,500	7368,4	5000,0			

4 Cisaillement (ETAG annexe C, § 5.2.3)

	Charge [daN]	Capacité [daN]	Utilisation β_v [%]	Statut
Rupture acier (sans bras de levier)*	1414,2	4080,0	35	OK
Rupture acier (avec bras de levier)*	NA	NA	NA	NA
Rupture par effet de levier**	2828,4	19251,4	15	OK
Rupture béton en bord de dalle en direction x-**	2000,0	9609,6	21	OK

* cheville la plus défavorable ** groupe de chevilles (chevilles pertinentes)

4.1 Rupture acier (sans bras de levier)

$V_{Rk,s}$ [daN]	$\gamma_{M,s}$	$V_{Rd,s}$ [daN]	V_{Sd} [daN]
5100,0	1,250	4080,0	1414,2

4.2 Rupture par effet de levier

$A_{c,N}$ [mm ²]	$A_{c,N}^0$ [mm ²]	$c_{cr,N}$ [mm]	$s_{cr,N}$ [mm]	k-factor	
194400	129600	180	360	2,900	
$e_{c1,v}$ [mm]	$\Psi_{ec1,N}$	$e_{c2,v}$ [mm]	$\Psi_{ec2,N}$	$\Psi_{s,N}$	$\Psi_{re,N}$
0	1,000	0	1,000	1,000	1,000
$N_{Rk,c}^0$ [daN]	$\gamma_{M,c,p}$	$V_{Rd,cp}$ [daN]	V_{Sd} [daN]		
6638,4	1,500	19251,4	2828,4		

4.3 Rupture béton en bord de dalle en direction x-

l_f [mm]	d_{nom} [mm]	k_1	α	β	
120	16,0	2,400	0,077	0,060	
c_1 [mm]	$A_{c,v}$ [mm ²]	$A_{c,v}^0$ [mm ²]			
200	204750	180000			
$\Psi_{s,v}$	$\Psi_{h,v}$	$\Psi_{a,v}$	$e_{c,v}$ [mm]	$\Psi_{ec,v}$	$\Psi_{re,v}$
0,903	1,000	2,500	0	1,000	1,000
$V_{Rk,c}^0$ [daN]	$\gamma_{M,c}$	$V_{Rd,c}$ [daN]	V_{Sd} [daN]		
5616,4	1,500	9609,6	2000,0		

5 Charges combinées traction et cisaillement (ETAG annexe C, § 5.2.4)

β_N	β_v	α	Utilisation $\beta_{N,v}$ [%]	Statut
0,753	0,347	1,500	86	OK

$$\beta_N^\alpha + \beta_v^\alpha \leq 1,0$$

6 Déplacements (cheville la plus défavorable)

Charge à court terme:

N_{Sk} = 1851,9 [daN]	δ_N = 1,634 [mm]
V_{Sk} = 1047,6 [daN]	δ_v = 0,792 [mm]
	δ_{NV} = 1,816 [mm]

Charge à long terme

N_{Sk} = 1851,9 [daN]	δ_N = 1,945 [mm]
V_{Sk} = 1047,6 [daN]	δ_v = 1,188 [mm]
	δ_{NV} = 2,279 [mm]

Commentaires: Les déplacements en traction sont valides avec la moitié des couples de serrage requis pour Béton non fissuré Béton ! Les déplacements en cisaillement sont valides sans friction entre le béton et la platine ! L'espace entre le trou foré et le trou de passage n'est pas inclus dans ce calcul!

Les déplacements acceptables dépendent de la construction fixée et doivent être définis par le concepteur !

Société: HEYMAN
Prescripteur: Faure QEI
Adresse:
Tel | Fax: |
E-mail:

Page: 4
Projet: CHASSIS VIISTA
Sous projet | Pos. N°:
Date: 15/11/2020

7 Avertissements

- La méthode de dimensionnement utilisée par PROFIS Chevilles requiert une platine rigide selon les normes en vigueur (ETAG 001/Annexe C, EOTA TR029, etc.). Cela signifie que la redistribution des charges dues aux déformations élastiques de la platine ne sont pas prises en considération - la platine est considérée comme suffisamment rigide pour ne pas être déformée sous les charges de calcul. PROFIS Chevilles calcul l'épaisseur minimum de la platine avec la méthode des éléments finis en prenant en compte les hypothèses décrites précédemment. La vérification de la rigidité de la platine n'est pas assurée par PROFIS Chevilles. Les données d'entrée ainsi que le respect de la mise en oeuvre doivent être vérifiées.
- La vérification du transfert de charge dans le matériau de base est nécessaire selon ETAG annexe C, § 7! Le logiciel considère que le mortier est installé sous la platine sans création de vide et avant application de la charge.
- Le calcul n'est valide que si le diamètre du trou de passage n'est pas supérieur à la valeur donnée dans le Tableau 4.1 de l'annexe C du guide ETAG 001! Pour des diamètres plus importants du trou de passage, voir le chapitre 1.1. de l'annexe C du Guide ETAG 001!
- La liste d'accessoires donnée dans cette note de calcul est pour information uniquement. Dans tous les cas, les instructions de pose fournies avec le produit doivent être respectées pour assurer une installation correcte.

La fixation remplit les critères de conception !

Société: HEYMAN
 Prescripteur: Faure QEI
 Adresse:
 Tel | Fax: |
 E-mail:

Page: 5
 Projet: CHASSIS VIISTA
 Sous projet | Pos. N°:
 Date: 15/11/2020

8 Données de pose

Platine, acier: -
 Profil: Cylindre; 60 x 60 x 0 mm
 Diamètre du trou de passage: $d_f = 18$ mm
 Epaisseur de platine (entrée): 23 mm
 Epaisseur de platine recommandée: non calculé
 Méthode de perçage: Perçage au perforateur
 Nettoyage: Un nettoyage manuel du trou est requis conformément aux instructions de pose.

Type et taille de cheville: HSA M16 hnom3
 Couple de serrage: 8,0 daNm
 Diamètre du trou dans le matériau de base: 16 mm
 Profondeur du trou dans le matériau de base: 140 mm
 Epaisseur minimum du matériau de base: 180 mm

8.1 Accessoires recommandés

Perçage

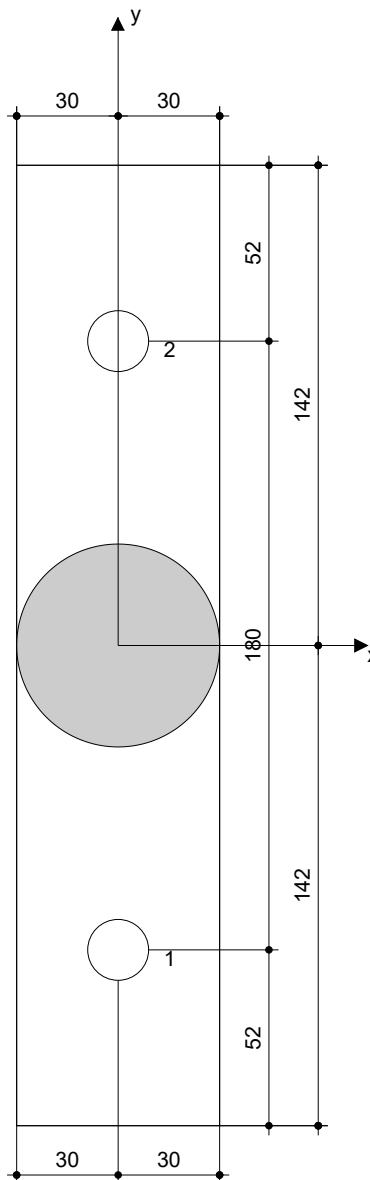
- Rotation percussion
- Mèche

Nettoyage

- Pompe soufflante manuelle

Pose

- Vissage de la cheville à couple contrôlé avec boulonneuse ou clé dynamométrique appropriée
- Marteau



Coordonnées des chevilles [mm]

Cheville	x	y	C _{-x}	C _{+x}	C _{-y}	C _{+y}
1	0	-90	200	-	203	-
2	0	90	200	-	383	-

www.hilti.fr

Société: HEYMAN
Prescripteur: Faure QEI
Adresse:
Tel | Fax: |
E-mail:

Page: 6
Projet: CHASSIS VIISTA
Sous projet | Pos. N°:
Date: 15/11/2020

9 Remarques, commentaires

- Toutes les informations et toutes les données contenues dans le Logiciel ne concernent que l'utilisation des produits Hilti et sont basées sur des principes, des formules et des réglementations de sécurité conformes aux consignes techniques d'Hilti et sur des instructions d'opération, de montage, d'assemblage, etc., que l'utilisateur doit suivre à la lettre. Tous les chiffres qui y figurent sont des moyennes ; en conséquence, des tests d'utilisation spécifiques doivent être conduits avant l'utilisation du produit Hilti applicable. Les résultats des calculs exécutés au moyen du Logiciel reposent essentiellement sur les données que vous y saisissez. En conséquence, vous êtes seul responsable de l'absence d'erreurs, de l'exhaustivité et de la pertinence des données saisies par vos soins. En outre, vous êtes seul responsable de la vérification des résultats du calcul et de leur validation par un expert, particulièrement en ce qui concerne le respect des normes et permis applicables avant leur utilisation pour votre site en particulier. Le Logiciel ne sert que d'aide à l'interprétation des normes et des permis sans aucune garantie concernant l'absence d'erreurs, l'exactitude et la pertinence des résultats ou leur adaptation à une application spécifique.
- Vous devrez prendre toutes les mesures nécessaires et raisonnables pour empêcher ou limiter les dommages causés par le Logiciel. Plus particulièrement, vous devez prendre vos dispositions pour effectuer régulièrement une sauvegarde des programmes et des données et, si applicable, exécuter les mises à jour régulièrement fournies par Hilti. Si vous n'utilisez pas la fonction AutoUpdate du Logiciel, vous devez vous assurer que vous utilisez dans chaque cas la version actuelle et à jour du Logiciel, en exécutant des mises à jour manuelles via le Site Web Hilti. Hilti ne sera tenu responsable d'aucune conséquence, telle que la nécessité de récupérer des besoins ou programmes perdus ou endommagés, découlant d'un manquement coupable de votre part à vos obligations.